

01;08

## Теория фильтра на слабо связанных резонансных модах поверхностных акустических волн

© В.Ф. Дмитриев

Закрытое акционерное общество „Авангард-Элионика“,  
195271 Санкт-Петербург, Россия  
e-mail: <elionica@rol.ru>

(Поступило в Редакцию 21 июня 2002 г.)

На основе модифицированных уравнений для связанных мод построена теория фильтров, использующих волноводные моды в структуре двух слабо связанных в поперечном направлении резонаторов на ПАВ. Проведено сопоставление результатов расчета по предложенной теории и ранее выполненного эксперимента.

### Введение

Одним из эффективных методов расчета устройств на поверхностных акустических волнах (ПАВ) является метод связанных мод. Обычно используемый метод связанных мод (см., например, [1]), основанный на выводе системы неоднородных дифференциальных уравнений, неоправданно усложняет решение задачи расчета устройств на ПАВ с произвольно изменяющимися параметрами. В рамках этой теории затруднен учет таких факторов, как изменяющийся период структуры, произвольная полярность подключения электродов к контактным шинам, аподизация, неоднородное распределение поверхностного заряда на электродах структуры. Все перечисленные факторы достаточно просто могут быть учтены с помощью метода, основанного на модифицированных уравнениях для связанных мод, оперирующего элементарным звеном структуры. Кроме того, предлагаемый метод более перспективен с точки зрения дальнейшего усложнения исходной модели структуры.

Ранее метод модифицированных уравнений для связанных мод был использован для расчета различного типа устройств на поверхностных акустических волнах [2–4]. В данной работе рассмотрена теория одного из наиболее перспективных для использования в аппаратуре различного вида связи типов узкополосных фильтров на ПАВ. Это фильтр, использующий волноводные моды в структуре двух слабосвязанных в поперечном направлении резонаторов на ПАВ (в англоязычной литературе — transversely coupled resonator filter (TCRF)). TCRF-фильтры привлекательны тем, что имеют относительно малые вносимые потери при высоком внеполосном подавлении. Ранее теория TCRF-фильтров рассматривалась на основе обычной теории связанных мод (COM (coupling modes)-теории) в ряде работ (см., например, обзор [5]). Однако расчет TCRF с изменяющейся полярностью подключения пар электродов к контактным шинам на основе обычной COM-теории затруднен. В данном типе TCRF-фильтров полярность подключения пар электродов к контактным шинам выбирается таким образом, что обеспечивается

возбуждение как минимум двух продольных резонансных мод. Отметим, что каждая продольная мода за счет слабой связи между двумя резонаторами в поперечном направлении и волноводного эффекта расщепляется на две. Таким образом, в TCRF-фильтре с изменяющейся полярностью подключения пар электродов к контактным шинам может одновременно возбуждаться четыре и более мод. Четырехмодовый фильтр обеспечивает большую широкополосность и прямоугольность амплитудно-частотной характеристики по сравнению с обычным двухмодовым TCRF-фильтром. Предложенная теория с одинаковым успехом может быть использована как для расчета обычных TCRF-фильтров, так и для расчета TCRF-фильтров с изменяющейся полярностью подключения пар электродов.

В работе на основе модифицированных уравнений для связанных мод построена теория фильтров, использующих волноводные моды в структуре двух слабосвязанных в поперечном направлении резонаторов на ПАВ. Проведено сопоставление результатов расчета, проведенного на основе предложенной теории и ранее выполненного эксперимента, представленного в работе [6] и автором данной статьи совместно с Н.П. Осиповой в докладе [7].

### Распределение поля акустической волны в поперечном направлении TCRF-фильтра

Пусть  $R(y, z, \omega)$  и  $S(y, z, \omega)$  — две связанные между собой неоднородные плоские волны с частотой  $\omega$ , распространяющийся в полубесконечном пьезоэлектрике с нанесенными на его поверхность встречно-штыревыми преобразователями ( $IDT-1$  и  $IDT-2$ ) и отражающими структурами ( $RA1-L$ ,  $RA1-P$ ,  $RA2-L$ ,  $RA2-P$ ) в виде металлических полосков (рис. 1). Причем волна  $R(y, z, \omega)$  распространяется в направлении оси  $z$ , а волна  $S(y, z, \omega)$  — в направлении, противоположном оси  $z$ . Будем также полагать, что распределение поля в поперечном направлении не зависит от координаты

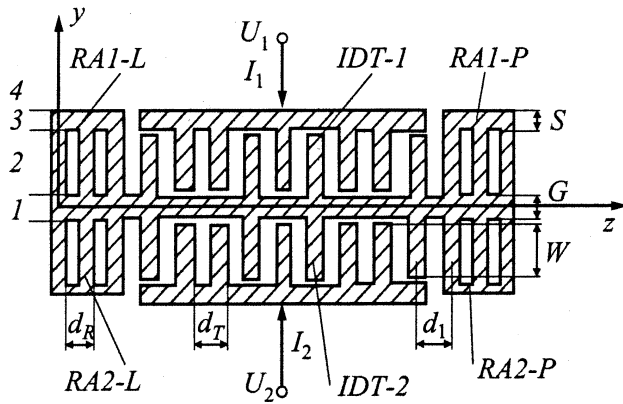


Рис. 1. Топология TCRF-фильтра.

ты  $z$  и структура ограничена в направлении оси  $y$ . Тогда в силу ограниченного поперечного размера в такой структуре возможно существование волноводных мод. Неоднородные плоские волны, распространяющиеся в структуре, представленной на рис. 1, запишем в виде

$$R(y, z, \omega) = R(\omega)\Psi(y) \exp(-jkz), \quad (1)$$

$$S(y, z, \omega) = S(\omega)\Psi(y) \exp(+jkz), \quad (2)$$

где  $R(\omega)$ ,  $S(\omega)$  — комплексные амплитуды соответствующих волн,  $\Psi(y)$  — распределение поля акустической волны в поперечном направлении,  $k$  — волновые числа.

Распределение поля  $\Psi(y)$  будем искать на основе решения волнового уравнения для комплексных амплитуд волн, распространяющихся в направлении оси  $z$ ,

$$\frac{d^2\Psi^{(t)}(y)}{dy^2} + k_t^2 \Psi^{(t)}(y) = 0, \quad (3)$$

где  $t = 1, 2, 3, 4$  — номер области структуры (согласно рис. 1), для которой записано уравнение.

Распределение поля акустической волны должно удовлетворять граничным условиям

$$\Psi^{(1)}(y) = \Psi^{(2)}(y) \quad \text{при } y = G/2, \quad (4)$$

$$\Psi^{(2)}(y) = \Psi^{(3)}(y) \quad \text{при } y = G/2 + W, \quad (5)$$

$$\Psi^{(3)}(y) = \Psi^{(4)}(y) \quad \text{при } y = G/2 + W + S, \quad (6)$$

$$\frac{\partial\Psi^{(1)}(y)}{\partial y} = \frac{\partial\Psi^{(2)}(y)}{\partial y} \quad \text{при } y = G/2, \quad (7)$$

$$\frac{\partial\Psi^{(2)}(y)}{\partial y} = \frac{\partial\Psi^{(3)}(y)}{\partial y} \quad \text{при } y = G/2 + W, \quad (8)$$

$$\frac{\partial\Psi^{(3)}(y)}{\partial y} = \frac{\partial\Psi^{(4)}(y)}{\partial y} \quad \text{при } y = G/2 + W + S. \quad (9)$$

В силу симметрии структуры относительно оси  $z$  решение (3) с граничными условиями (4)–(9) будем

искать для области  $y > 0$  в виде разложения по ортонормированной системе функций

$$\Psi^{(t)}(y) = \sum_n \Psi_n^{(t)}(y), \quad (10)$$

где  $\Psi_n(y) = A_n \sin(k_{1n}y) + B_n \cos(k_{1n}y)$ .

В области 1  $k_{1n}^2 = -k_{1n}^2 = -(k_n^2 - k_m^2)$ , в области 2  $k_{2n}^2 = k_{2n}^2 = k_e^2 - k_n^2$ , в области 3  $k_{3n} = k_{1n}$ , в области 4  $k_{4n}^2 = -k_{4n}^2 = -(k_n^2 - k_0^2)$ ;  $k_m, k_e, k_0$  — волновые числа ПАВ для неограниченного пьезоэлектрика под полностью металлизированной поверхностью, под поверхностью с бесконечно длинной решеткой бесконечно длинных электродов и под свободной поверхностью соответственно;  $k_n$  — волновое число  $n$ -й моды. Поскольку в общем случае в структуре может существовать  $n$  типов волноводных мод ( $n = 0, 1, 2, 3, \dots$ ), причем каждая со своим распределением поля в поперечном направлении, решение будем искать для каждой из них.

С учетом знака постоянной распространения  $k_{1n}$  и симметрии структуры в областях 1–4 решение (3) будем искать в виде: в области 1,  $0 < y < G/2$

$$\Psi_n^{(1)}(y) = B_{1n}F_B,$$

где

$$F_B = \begin{cases} \text{ch}(k_{1n}G/2) & \text{для симметричных мод,} \\ \text{sh}(k_{1n}G/2) & \text{для антисимметричных мод;} \end{cases} \quad (11)$$

в области 2,  $G/2 < y < W + G/2$

$$\Psi_n^{(2)}(y) = A_{2n} \sin(k_{2n}y) + B_{2n} \cos(k_{2n}y); \quad (12)$$

в области 3,  $W + G/2 < y < W + G/2 + S$

$$\Psi_n^{(3)}(y) = B_{3n} \exp(-k_{3n}y); \quad (13)$$

в области 4,  $y > W + G/2 + S$

$$\Psi_n^{(4)}(y) = B_{4n} \exp(-k_{4n}y). \quad (14)$$

Значения коэффициентов  $B_{1n}, A_{2n}, B_{2n}, A_{3n}, B_{3n}, B_{4n}$  можно определить из граничных условий (4)–(9) и условия ортонормировки

$$\int_{-\infty}^{\infty} dy \Psi_n^{(t)}(y) \Psi_m^{(t)}(y) = \delta_{nm}W, \quad (15)$$

где  $\delta_{nm}$  — символ Кронекера.

Используя граничные условия (5) и (8) и выражения (12) и (13), нетрудно получить дисперсионное уравнение, связывающее волновые числа акустических волноводных мод с их круговой частотой. Условия существования решения дисперсионного уравнения рассмотрены в работе [1].

## Модифицированные СОМ-уравнения для TCRF-фильтра

Для расчета входной проводимости TCRF-фильтра воспользуемся уравнениями (9)–(11) из работы [3] и разложением поля акустической волны в ряд по волновым модам. Тогда с учетом выражений (1), (2) и (10) можно записать

$$R(y, z, \omega) = \sum_n R_n(\omega) \exp(-jk_n z) \Psi_n(y), \quad (16)$$

$$S(y, z, \omega) = \sum_n S_n(\omega) \exp(+jk_n z) \Psi_n(y). \quad (17)$$

Далее, выполним стандартные преобразования. Подставляя разложения (16) и (17) в уравнения (9) и (10) из работы [3], умножая обе части уравнений на  $\Psi_n(y)$ , интегрируя по  $y$  от  $-\infty$  до  $+\infty$  и учитывая условия нормировки (15), получим

$$\begin{aligned} S_{K,n}(\omega) &= r_K \eta_{1,K} \exp[-j\chi_n p_K] R_{K,n}(\omega) \\ &+ \eta_{1,K} (1 - |r_K|^2)^{1/2} \exp[-j\chi_n p_K] S_{K+1,n}(\omega) \\ &+ \xi_K(\omega) \eta_{2,K} \exp[-j\chi_n p_K/2] (T_n^{(1)} U_1 + T_n^{(2)} U_2), \end{aligned} \quad (18)$$

$$\begin{aligned} R_{K+1,n}(\omega) &= \eta_{1,K} (1 - |r_K|^2)^{1/2} \exp[-j\chi_n p_K] R_{K,n}(\omega) \\ &+ r_K \eta_{1,K} \exp[-j\chi_n p_K] S_{K+1,n}(\omega) \\ &+ \xi_K(\omega) \eta_{2,K} \exp[-j\chi_n p_K/2] (T_n^{(1)} U_1 + T_n^{(2)} U_2), \end{aligned} \quad (19)$$

где  $r_K$  — комплексный коэффициент отражения от  $k$ -го электрода;  $\chi_n = k_n - k_0 - j\alpha$ ,  $k_0 = 2\pi/p_K$ ,  $p_K$  — расстояние между центрами  $k + 1$ -го и  $k$ -го электродов;  $\xi_K$  — коэффициент преобразования ПАВ на  $k$ -м электроде [3];  $\eta_{1,K} = W_{1,K}/W$ ,  $\eta_{2,K} = W_{2,K}/W$ ,  $W$  — максимальная апертура,  $W_{1,K}$  — перекрытие соседних электродов,  $W_{2,K} = W$  в случае, если используются холостые электроды, и  $W_{2,K} = W_{1,K}$ , если холостые электроды не используются;  $\alpha$  — суммарные потери при распространении ПАВ в электродной структуре на единицу длины;  $L_K$  — ширина  $k$ -го электрода; центр отражения (преобразования) ПАВ принят находящимся в центре электрода.

Величины  $T_n^{(1)}$  и  $T_n^{(2)}$  равны

$$\begin{aligned} T_n^{(1)} &= (1/W) \int_{G/2}^{G/2+W} dy \Psi_n(y), \\ T_n^{(2)} &= (1/W) \int_{-(G/2+W)}^{-G/2} dy \Psi_n(y). \end{aligned}$$

Отметим, что для симметричных мод  $T_n^{(1)} = T_n^{(2)}$ , а для антисимметричных  $T_n^{(1)} = -T_n^{(2)}$ . Число электродов в каждом ВШП примем равным  $N_T$ , а в каждой отражающей структуре —  $N_G$ . Записывая уравнение (11) из

работы [3] для каждого преобразователя, затем подставляя разложения (16) и (17) в полученные уравнения, умножая обе части уравнений на  $\Psi_n(y)$  и интегрируя по  $y$  в пределах апертуры каждого преобразователя, для изменения тока в ВШП за счет преобразования прямой и обратной волн получим

$$\begin{aligned} I_{1,K,n}(\omega) - I_{1,K+1,n}(\omega) &= 2\xi_K(\omega) \exp[-j\chi_n p_K/2] \\ &\times T_n^{(1)} [R_{K,n}(\omega) + S_{K,n}(\omega)], \end{aligned} \quad (20)$$

$$\begin{aligned} I_{2,K,n}(\omega) - I_{2,K+1,n}(\omega) &= 2\xi_K(\omega) \exp[-j\chi_n p_K/2] \\ &\times T_n^{(2)} [R_{K,n}(\omega) + S_{K,n}(\omega)]. \end{aligned} \quad (21)$$

Изменение тока в шинах за счет падения напряжения на емкости ВШП учтем позже.

Соотношения (18)–(21) можно записать в матричной форме

$$\begin{aligned} \begin{vmatrix} S_{K,n}(\omega) \\ R_{K+1,n}(\omega) \\ \Delta I_{1,K,n}(\omega) \\ \Delta I_{2,K,n}(\omega) \end{vmatrix} &= \begin{vmatrix} P(1,1) & P(1,2) & P(1,3) & P(1,4) \\ P(2,1) & P(2,2) & P(2,3) & P(2,4) \\ P(3,1) & P(3,2) & P(3,3) & P(3,4) \\ P(4,1) & P(4,2) & P(4,3) & P(4,4) \end{vmatrix} \\ &\times \begin{vmatrix} R_{K,n}(\omega) \\ S_{K+1,n}(\omega) \\ U_1 \\ U_2 \end{vmatrix}, \end{aligned} \quad (22)$$

где  $\Delta I_{1,K,n}(\omega) = I_{1,K,n}(\omega) - I_{1,K+1,n}(\omega)$ ,  $\Delta I_{2,K,n}(\omega) = I_{2,K,n}(\omega) - I_{2,K+1,n}(\omega)$ ,

$$P(1,1) = r_K \eta_{1,K} \exp[-j\chi_n p_K],$$

$$P(1,2) = \eta_{1,K} (1 - |r_K|^2)^{1/2} \exp[-j\chi_n p_K],$$

$$P(1,3) = \xi_K(\omega) \eta_{2,K} \exp[-j\chi_n p_K/2] T_n^{(1)},$$

$$P(1,4) = \xi_K(\omega) \eta_{2,K} \exp[-j\chi_n p_K/2] T_n^{(2)},$$

$$P(2,1) = \eta_{1,K} (1 - |r_K|^2)^{1/2} \exp[-j\chi_n p_K],$$

$$P(2,2) = r_K \eta_{1,K} \exp[-j\chi_n p_K],$$

$$P(2,3) = \xi_K(\omega) \eta_{2,K} \exp[-j\chi_n p_K/2] T_n^{(1)},$$

$$P(2,4) = \xi_K(\omega) \eta_{2,K} \exp[-j\chi_n p_K/2] T_n^{(2)},$$

$$P(3,1) = P(3,2) = 2\xi_K(\omega) \exp[-j\chi_n p_K/2] T_n^{(1)},$$

$$P(4,1) = P(4,2) = 2\xi_K(\omega) \exp[-j\chi_n p_K/2] T_n^{(2)},$$

$$P(3,3) = P(3,4) = P(4,3) = P(4,4) = 0.$$

Для расчета компонент  $P$ -матрицы TCRF-фильтра на первом этапе найдем компоненты суммарной  $P$ -матрицы двух ПАВ структур с матрицами  $[P^{(1)}]$  и  $[P^{(2)}]$ , включенных последовательно. Для упрощения записываемых

соотношений индекс  $n$  опустим. Тогда матрицу  $[P^{(1)}]$  определим как

$$\begin{pmatrix} S_K(\omega) \\ R_{K+1}(\omega) \\ \Delta I_{1,K}(\omega) \\ \Delta I_{2,K}(\omega) \end{pmatrix} = \begin{pmatrix} P^{(1)}(1,1) & P^{(1)}(1,2) & P^{(1)}(1,3) & P^{(1)}(1,4) \\ P^{(1)}(2,1) & P^{(1)}(2,2) & P^{(1)}(2,3) & P^{(1)}(2,4) \\ P^{(1)}(3,1) & P^{(1)}(3,2) & P^{(1)}(3,3) & P^{(1)}(3,4) \\ P^{(1)}(4,1) & P^{(1)}(4,2) & P^{(1)}(4,3) & P^{(1)}(4,4) \end{pmatrix} \begin{pmatrix} R_K(\omega) \\ S_{K+1}(\omega) \\ U_1 \\ U_2 \end{pmatrix}, \quad (23)$$

где  $\Delta I_{1,K}(\omega) = I_{1,K}(\omega) - I_{1,K+1}(\omega)$ ,  $\Delta I_{2,K}(\omega) = I_{2,K}(\omega) - I_{2,K+1}(\omega)$ .

Матрицу  $[P^{(2)}]$  определим как

$$\begin{pmatrix} S_{K+1}(\omega) \\ R_{K+2}(\omega) \\ \Delta I_{1,K+1}(\omega) \\ \Delta I_{2,K+1}(\omega) \end{pmatrix} = \begin{pmatrix} P^{(2)}(1,1) & P^{(2)}(1,2) & P^{(2)}(1,3) & P^{(2)}(1,4) \\ P^{(2)}(2,1) & P^{(2)}(2,2) & P^{(2)}(2,3) & P^{(2)}(2,4) \\ P^{(2)}(3,1) & P^{(2)}(3,2) & P^{(2)}(3,3) & P^{(2)}(3,4) \\ P^{(2)}(4,1) & P^{(2)}(4,2) & P^{(2)}(4,3) & P^{(2)}(4,4) \end{pmatrix} \begin{pmatrix} R_{K+1}(\omega) \\ S_{K+2}(\omega) \\ U_1 \\ U_2 \end{pmatrix}, \quad (24)$$

где  $\Delta I_{1,K+1}(\omega) = I_{1,K+1}(\omega) - I_{1,K+2}(\omega)$ ,  $\Delta I_{2,K+1}(\omega) = I_{2,K+1}(\omega) - I_{2,K+2}(\omega)$ .

Используя системы уравнений (23), (24) с произвольными коэффициентами, записанные для двух последовательно включенных ПАВ структур TCRF-фильтра, нетрудно получить компоненты суммарной  $P$ -матрицы

$$\begin{pmatrix} S_K(\omega) \\ R_{K+2}(\omega) \\ \Delta I_1(\omega) \\ \Delta I_2(\omega) \end{pmatrix} = \begin{pmatrix} P^{(S4)}(1,1) & P^{(S4)}(1,2) & P^{(S4)}(1,3) & P^{(S4)}(1,4) \\ P^{(S4)}(2,1) & P^{(S4)}(2,2) & P^{(S4)}(2,3) & P^{(S4)}(2,4) \\ P^{(S4)}(3,1) & P^{(S4)}(3,2) & P^{(S4)}(3,3) & P^{(S4)}(3,4) \\ P^{(S4)}(4,1) & P^{(S4)}(4,2) & P^{(S4)}(4,3) & P^{(S4)}(4,4) \end{pmatrix} \begin{pmatrix} R_K(\omega) \\ S_{K+2}(\omega) \\ U_1 \\ U_2 \end{pmatrix}, \quad (25)$$

где  $\Delta I_1(\omega) = I_{1,K}(\omega) - I_{1,K+2}(\omega)$ ,  $\Delta I_2(\omega) = I_{2,K}(\omega) - I_{2,K+2}(\omega)$ ,

$$P^{(S4)}(1,1) = P^{(1)}(1,1) + P^{(1)}(1,2)P^{(2)}(1,1)P^{(1)}(2,1)/P_0; \quad (26)$$

$$P^{(S4)}(1,2) = P^{(1)}(1,2)P^{(2)}(1,2)/P_0; \quad (27)$$

$$P^{(S4)}(1,3) = P^{(1)}(1,3) + P^{(1)}(1,2)[P^{(2)}(1,3) + P^{(2)}(1,1)P^{(1)}(2,3)]/P_0; \quad (28)$$

$$P^{(S4)}(1,4) = P^{(1)}(1,4) + P^{(1)}(1,2)[P^{(2)}(1,4) + P^{(2)}(1,1)P^{(1)}(2,4)]/P_0; \quad (29)$$

$$P^{(S4)}(2,1) = P^{(1)}(2,1)P^{(2)}(2,1)/P_0; \quad (30)$$

$$P^{(S4)}(2,2) = P^{(2)}(2,2) + P^{(2)}(2,1)P^{(1)}(2,2)P^{(2)}(1,2)/P_0; \quad (31)$$

$$P^{(S4)}(2,3) = P^{(2)}(2,3) + P^{(2)}(2,1)[P^{(1)}(2,3) + P^{(2)}(1,3)P^{(1)}(2,2)]/P_0; \quad (32)$$

$$P^{(S4)}(2,4) = P^{(2)}(2,4) + P^{(2)}(2,1)[P^{(1)}(2,4) + P^{(2)}(1,4)P^{(1)}(2,2)]/P_0; \quad (33)$$

$$P^{(S4)}(3,1) = P^{(1)}(3,1) + P^{(1)}(2,1)[P^{(2)}(3,1) + P^{(2)}(1,1)P^{(1)}(3,2)]/P_0; \quad (34)$$

$$P^{(S4)}(3,2) = P^{(2)}(3,2) + P^{(2)}(1,2)[P^{(1)}(3,2) + P^{(1)}(2,2)P^{(2)}(3,1)]/P_0; \quad (35)$$

$$P^{(S4)}(3,3) = P^{(1)}(3,3) + P^{(2)}(3,3) + \{P^{(1)}(3,2)[P^{(2)}(1,3) + P^{(2)}(1,1)P^{(1)}(2,3)] + P^{(2)}(3,1)[P^{(1)}(2,3) + P^{(1)}(2,2)P^{(2)}(1,3)]\}/P_0; \quad (36)$$

$$P^{(S4)}(3,4) = P^{(1)}(3,4) + P^{(2)}(3,4) + \{P^{(1)}(3,2)[P^{(2)}(1,4) + P^{(2)}(1,1)P^{(1)}(2,4)] + P^{(2)}(3,1)[P^{(1)}(2,4) + P^{(1)}(2,2)P^{(2)}(1,4)]\}/P_0; \quad (37)$$

$$P^{(S4)}(4,1) = P^{(1)}(4,1) + P^{(1)}(2,1)[P^{(2)}(4,1) + P^{(2)}(1,1)P^{(1)}(4,2)]/P_0; \quad (38)$$

$$P^{(S4)}(4,2) = P^{(2)}(4,2) + P^{(2)}(1,2)[P^{(1)}(4,2) + P^{(1)}(2,2)P^{(2)}(4,1)]/P_0; \quad (39)$$

$$P^{(S4)}(4,3) = P^{(1)}(4,3) + P^{(2)}(4,3) + \{P^{(1)}(4,2)[P^{(2)}(1,3) + P^{(2)}(1,1)P^{(1)}(2,3)] + P^{(2)}(4,1)[P^{(1)}(2,3) + P^{(1)}(2,2)P^{(2)}(1,3)]\}/P_0; \quad (40)$$

$$P^{(S4)}(4,4) = P^{(1)}(4,4) + P^{(2)}(4,4) + \{P^{(1)}(4,2)[P^{(2)}(1,4) + P^{(2)}(1,1)P^{(1)}(2,4)] + P^{(2)}(4,1)[P^{(1)}(2,4) + P^{(1)}(2,2)P^{(2)}(1,4)]\}/P_0; \quad (41)$$

где  $P_0 = 1 - P^{(2)}(1,1)P^{(1)}(2,2)$ .

Верхние индексы  $S4$ , 1 и 2 относятся соответственно к суммарной  $P$ -матрице,  $P$ -матрице ПАВ структуры, находящейся слева, и  $P$ -матрице ПАВ структуры, находящейся справа. ПАВ структурой может быть как отдельный электрод, так и группа электродов, для которой вычислена суммарная  $P$ -матрица. Приведенные соотношения позволяют рассчитывать входную проводимость TCRF-фильтра с произвольно меняющейся полярностью подключения пар электродов к шинам преобразователя, изменяющимся периодом структуры, аподизацией электродов как в ВШП, так и в отражающей структуре и реальным распределением поверхностного тока (заряда) на электродах ВШП [3].

## Расчет входной проводимости TCRF-фильтра

Расчет входной проводимости TCRF-фильтра будем проводить на основе модифицированного COM-метода. Эквивалентную акустоэлектрическую схему TCRF представим, рассматривая каждый ВШП в виде устройства с двумя электрическими и шестью акустическими входами (выходами), как это показано на рис. 2. К преобразователям  $IDT-1$  и  $IDT-2$  приложены потенциалы  $U_1$  и  $U_2$  и через них текут токи  $I_1$ ,  $I_2$  соответственно. На преобразователи  $IDT-1$  и  $IDT-2$  слева падают акустические волны с комплексными амплитудами  $R_n^{A1}$  и отражаются акустические волны с комплексными амплитудами  $S_n^{A1}$ , а справа падают акустические волны с комплексными амплитудами  $S_n^{A2}$  и отражаются акустические волны с комплексными амплитудами  $R_n^{A2}$ . На отражающие структуры  $RA1-L$  ( $RA2-L$ ) и  $RA1-P$  ( $RA2-P$ ) слева падают акустические волны с комплексными амплитудами  $R_n^{B1}$  и  $R_n^{C1}$  соответственно и отражаются акустические волны с комплексными амплитудами  $S_n^{B1}$  и  $S_n^{C1}$  соответственно, а справа падают акустические волны с комплексными амплитудами  $S_n^{B3}$  и  $S_n^{C2}$  соответственно и отражаются акустические волны с комплексными амплитудами  $R_n^{B2}$  и  $R_n^{C2}$  соответственно.

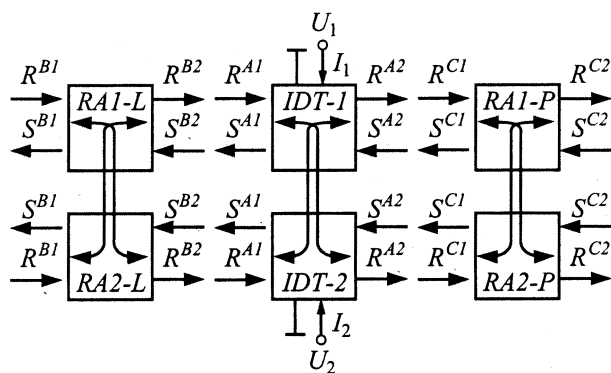


Рис. 2. Эквивалентная акустоэлектрическая схема TCRF-фильтра.

Акустическая связь между преобразователями  $IDT-1$  и  $IDT-2$ , а также отражающими структурами  $RA1-L$  и  $RA2-L$ ,  $RA1-P$  и  $RA2-P$  определяется распределением поля акустической волны в поперечном направлении структуры, и описывается выражениями (11), (12).

Записывая уравнения, аналогичные уравнениям (22) для  $k$ -го электрода  $IDT-1$  и  $IDT-2$  фильтра, и приняв  $p_K = d_T$ , а затем выполняя последовательное перемножение компонент матриц согласно (25)–(41), получим компоненты матриц  $[P^{(IDT)}]$ , описывающей преобразователи TCRF-фильтра в отсутствие отражающих структур  $RA1-L$  ( $RA2-L$ ) и  $RA1-P$  ( $RA2-P$ )

$$\begin{pmatrix} S^{A1}(\omega) \\ R^{A1}(\omega) \\ \Delta I_1(\omega) \\ \Delta I_2(\omega) \end{pmatrix} = \begin{pmatrix} P^{(IDT)}(1, 1) & P^{(IDT)}(1, 2) & P^{(IDT)}(1, 3) & P^{(IDT)}(1, 4) \\ P^{(IDT)}(2, 1) & P^{(IDT)}(2, 2) & P^{(IDT)}(2, 3) & P^{(IDT)}(2, 4) \\ P^{(IDT)}(3, 1) & P^{(IDT)}(3, 2) & P^{(IDT)}(3, 3) & P^{(IDT)}(3, 4) \\ P^{(IDT)}(4, 1) & P^{(IDT)}(4, 2) & P^{(IDT)}(4, 3) & P^{(IDT)}(4, 4) \end{pmatrix} \times \begin{pmatrix} R^{A2}(\omega) \\ S^{A2}(\omega) \\ U_1 \\ U_2 \end{pmatrix}. \quad (42)$$

Аналогично из уравнений (22), (25)–(41) могут быть получены  $P$ -матрицы окружающих структур  $RA1-L$  ( $RA2-L$ ) и  $RA1-P$  ( $RA2-P$ ). При этом необходимо учесть, что в отражающих структурах не происходит прямого и обратного преобразования акустических волн и к ним не приложены электрические потенциалы. Поэтому при выводе  $P$ -матриц отражающих структур необходимо положить, что  $\xi_K = 0$ ,  $U_0 = 0$ ,  $C_2 = 0$ . В этом случае элементы матрицы  $P(1, 3)$ ,  $P(2, 3)$ ,  $P(3, 1)$ ,  $P(3, 2)$ ,  $P(3, 3)$ ,  $P(1, 4)$ ,  $P(2, 4)$ ,  $P(4, 1)$ ,  $P(4, 2)$ ,  $P(4, 4)$  будут нулевыми. Тогда, для  $P$ -матрицы отражающей структуры  $RA1-L$  ( $RA1-L$ ), приняв  $p_K = d_R$ , получим

$$\begin{pmatrix} S^{B1}(\omega) \\ R^{B2}(\omega) \end{pmatrix} = \begin{pmatrix} P^{(AL)}(1, 1) & P^{(AL)}(1, 2) \\ P^{(AL)}(2, 2) & P^{(AL)}(2, 2) \end{pmatrix} \begin{pmatrix} R^{B1}(\omega) \\ S^{B2}(\omega) \end{pmatrix}, \quad (43)$$

а для  $P$ -матрицы отражающей структуры  $RA-P$  будем иметь

$$\begin{pmatrix} S^{C1}(\omega) \\ R^{C2}(\omega) \end{pmatrix} = \begin{pmatrix} P^{(AP)}(1, 1) & P^{(AP)}(1, 2) \\ P^{(AP)}(2, 2) & P^{(AP)}(2, 2) \end{pmatrix} \begin{pmatrix} R^{C1}(\omega) \\ S^{C2}(\omega) \end{pmatrix}. \quad (44)$$

$P$ -матрица  $[P^{(D1)}]$ , описывающая зазор между отражающей структурой  $RA1-L$  ( $RA2-L$ ) и ВШП, а также  $P$ -матрица  $[P^{(D2)}]$ , описывающая зазор между ВШП и отражающей структурой  $RA1-P$  ( $RA2-P$ ), могут быть получены из уравнений (22), (25)–(41) при условиях:  $\xi_K = 0$ ,  $U_0 = 0$ ,  $C_2 = 0$ ,  $r_K = 0$ ,  $W_K = 0$ .

В данном случае ненулевыми будут только элементы  $P(1, 2)$  и  $P(2, 1)$ . Из рассмотрения рис. 2 понятно, что  $R^{(A1)} = R^{(B2)} \exp(-jkd_1)$ ,  $S^{B2} = S^{A1} \exp[jkd_1]$  и  $R^{C1} = R^{A2} \exp(-jkd_1)$ ,  $S^{A2} = S^{C1} \exp[jkd_1]$ , где  $d_1$  — расстояние между ВШП и отражающими структурами.

Выполняя последовательное перемножение матриц, согласно соотношениям (25)–(41),

$$[P^{(L)}] = [P^{(D1)}] \times [P^{(AL)}] \times [P^{(IDT)}],$$

$$[P^{(P)}] = [P^{(AP)}] \times [P^{(D2)}],$$

а затем

$$[P^{(S4)}] = [P^{(L)}] \times [P^{(P)}],$$

получим компоненты матрицы  $[P^{(S4)}]$ , описывающей преобразователи TCRF с учетом отражающих структур RA1-L (RA2-L) и RA1-P (RA2-P).

Величины  $P^{(S4)}(3, 3)$ ,  $P^{(S4)}(3, 4)$ ,  $P^{(S4)}(4, 3)$ ,  $P^{(S4)}(4, 4)$  имеют смысл проводимостей, причем надо иметь в виду, что они получены для  $n$ -й волноводной моды. Выделяя их из матрицы  $[P^{(S4)}]$ , получим

$$\begin{aligned} |I_{1,n}(\omega)| &= \begin{vmatrix} Y_n(1, 1) & Y_n(1, 2) \\ Y_n(2, 1) & Y_n(2, 2) \end{vmatrix} |U_1|, & (45) \\ |I_{2,n}(\omega)| &= \begin{vmatrix} Y_n(1, 1) & Y_n(1, 2) \\ Y_n(2, 1) & Y_n(2, 2) \end{vmatrix} |U_2|. & (46) \end{aligned}$$

где  $Y_n(1, 1) = P^{(S4)}(3, 3)$ ,  $Y_n(1, 2) = \pm P^{(S4)}(3, 4)$ ,  $Y_n(2, 1) = P^{(S4)}(4, 3)$ ,  $Y_n(2, 2) = \pm P^{(S4)}(4, 4)$  — значения компонент матрицы входной проводимости фильтра, обусловленных  $n$ -й возбуждаемой волноводной модой.

С учетом знака  $U_2$  знак „плюс“ у  $Y_n(1, 2)$  и  $Y_n(2, 2)$  следует использовать для симметричных мод, а „минус“ — для антисимметричных.

Поскольку в данной теории рассматриваются только линейные взаимодействия (прямое и обратное преобразование ПАВ, отражение и распространение ПАВ), суммарный ток через ВШП равен сумме токов, обусловленных каждой из возбуждаемых мод, плюс высококачественный ток через статическую емкость ВШП

$$I_1(\omega) = \sum_n [I_{1,n}(\omega)] + j\omega(C_2/2)U_1 \sum_{k=1}^{N_T} \eta_{1k}, \quad (47)$$

$$I_2(\omega) = \sum_n [I_{2,n}(\omega)] + j\omega(C_2/2)U_2 \sum_{k=1}^{N_T} \eta_{2k}, \quad (48)$$

Заметим, что количество и тип симметрии возбуждаемых мод определяется из решения дисперсионного уравнения, получаемого из граничных условий (5) и (8). Тогда после нахождения из уравнений (45)–(48) значений компонент матрицы входной проводимости, обусловленных каждой из возбуждаемых в TCRF-фильтре волноводных мод, компоненты суммарной входной проводимости TCRF могут быть найдены простым их суммированием

$$|I_1(\omega)| = \begin{vmatrix} Y(1, 1) & Y(1, 2) \\ Y(2, 1) & Y(2, 2) \end{vmatrix} |U_1|, \quad (49)$$

$$|I_2(\omega)| = \begin{vmatrix} Y(1, 1) & Y(1, 2) \\ Y(2, 1) & Y(2, 2) \end{vmatrix} |U_2|. \quad (50)$$

где

$$Y(1, 1) = \sum_n P_n^{(S4)}(3, 3) + j\omega(C_2/2) \sum_{k=1}^{N_T} \eta_{1k}; \quad (51)$$

$$Y(1, 2) = \sum_n \pm P_n^{(S4)}(3, 4); \quad (52)$$

$$Y(2, 1) = \sum_n P_n^{(S4)}(4, 3); \quad (53)$$

$$Y(2, 2) = \sum_n \pm P_n^{(S4)}(4, 4) + j\omega(C_2/2) \sum_{k=1}^{N_T} \eta_{2k}. \quad (54)$$

Отметим, что знак „плюс“ в выражениях для  $Y(1, 2)$  и  $Y(2, 2)$  следует использовать для симметричных мод, а „минус“ — для антисимметричных.

Эквивалентная электрическая схема TCRF-фильтра представляет собой П-образное звено из пассивных элементов с комплексной проводимостью. Используя эквивалентную электрическую схему фильтра и величины входных проводимостей (51)–(54), нетрудно стандартными методами рассчитать  $S$ -параметры TCRF-фильтра.

## Результаты расчета и эксперимента

Для экспериментальной проверки разработанной теории воспользуемся результатами работы [7]. В данной работе представлен TCRF-фильтр, не имеющий изменений в полярности подключения пар электродов к контактным шинам. Поэтому он может быть рассчитан как на основе обычной СОМ-теории (например, представленной в [1]), так и на основе теории, представленной в данной работе. Данный фильтр на центральную частоту 68.9 МГц был спроектирован на основе обычной СОМ-теории и процедуры синтеза, включающей оптимизацию по параметрам  $W$ ,  $G$ ,  $N_T$  и  $d_T/d_R$ . В соответствии с требуемой полосой рабочих частот фильтра  $\sim 80$  кГц в качестве материала пьезоподложки был

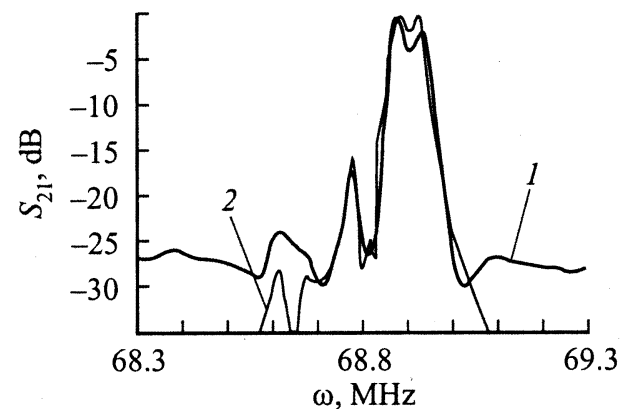
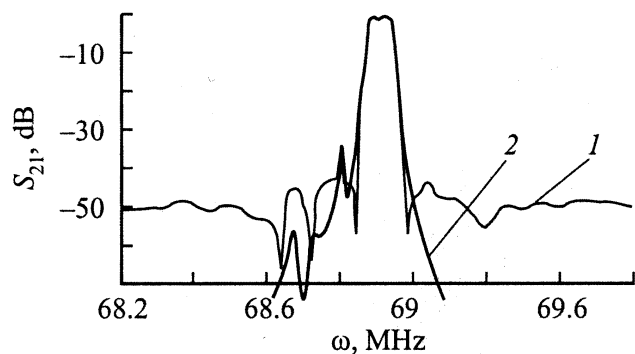
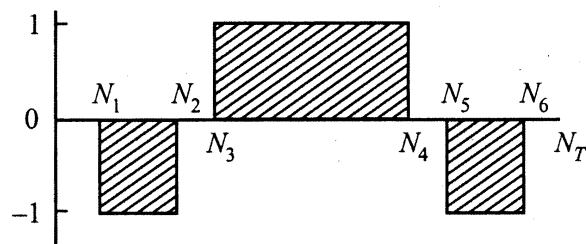


Рис. 3. Результаты измерения (1) и расчета (2) коэффициента передачи двухмодового TCRF-фильтра в несогласованном режиме.



**Рис. 4.** Результаты измерения (1) и расчета (2) коэффициента передачи двух последовательно включенных TCRF-фильтров в согласованном режиме.



**Рис. 5.** Закон изменения полярности подключения пар электродов к контактным шинам четырехмодового TCRF.

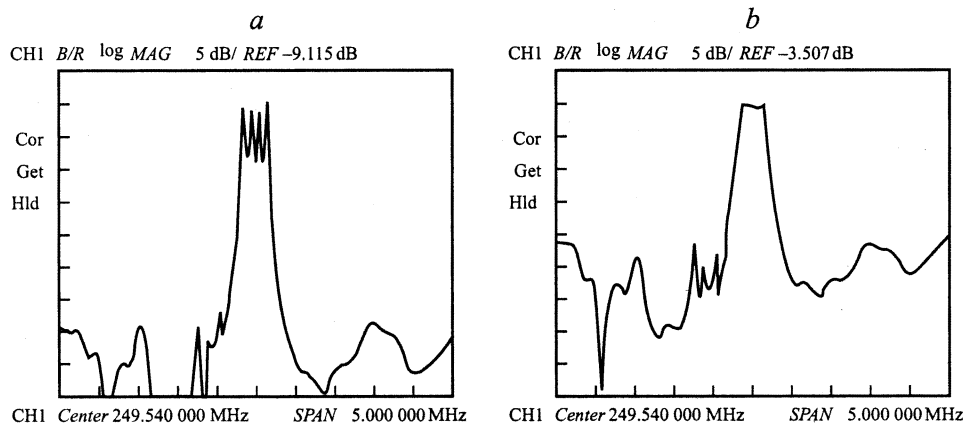
выбран  $ST, X$  кварц. Основные параметры топологии фильтра следующие:  $d_T = 22.835 \mu\text{m}$ ,  $d_R = 22.791 \mu\text{m}$ , число электродов в преобразователях  $IDT-1$  ( $IDT-2$ )  $N_T = 561$ , число электродов в отражающих структурах  $RA1$ ( $RA2$ )  $N_R = 200$ ,  $W = 6.3\lambda_0$ ,  $G = 1\lambda_0$ , толщина пленки  $A1$   $0.018\lambda_0$ ,  $d_T = 0.875\lambda_0$ ,  $W_K = 5\lambda_0$ , где  $\lambda_0$  — длина акустической волны на центральной частоте.

Результаты измерения коэффициента передачи фильтра ( $S_{21}$ ), включенного в тракт с волновым сопротивлением  $300 \Omega$  без использования элементов согласования, представлены на рис. 3 (кривая 1). Там же приведены

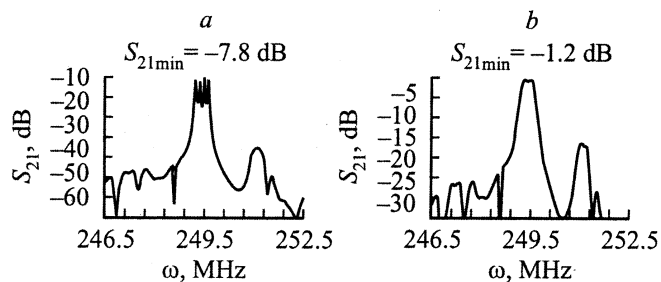
результаты расчета на основе предложенной в данной работе теории (кривая 2). По результатам измерений полоса частот по уровню  $-3 \text{ dB}$  составляет  $85 \text{ kHz}$ , вносимые потери  $5.5 \text{ dB}$ . „Полочка“ на уровне  $-27 \text{ dB}$  на экспериментальной зависимости  $S_{21}$  обусловлена сигналом прямого прохождения. Отметим, что входное (выходное) сопротивление фильтра, измеренное прибором P4-37, составляет  $\sim 300 \Omega$ .

Для увеличения уровня внеполосного подавления использовались последовательное включение двух фильтров с параметром  $W$ , равным  $6.3\lambda_0$  для первого фильтра и  $W = 5.9\lambda_0$  для второго фильтра. Частотная характеристика двух последовательно включенных фильтров с согласующими индуктивностями номиналом  $0.6 \mu\text{H}$ , включенными на входе и выходе каждого фильтра, и эмиттерным повторителем на входе первого фильтра, измеренные в тракте прибора P4-37 с волновым сопротивлением  $50 \Omega$ , приведены на рис. 4 (кривая 1). Там же приведены результаты расчета на основе предложенной в данной работе теории (кривая 2). По результатам измерения вносимые потери составили  $7 \text{ dB}$ , полоса частот по уровню  $-3 \text{ dB}$  составила  $82 \text{ kHz}$ . В диапазоне частот  $10 \dots 200 \text{ MHz}$  внеполосное подавление составило не менее  $43 \text{ dB}$ , за исключением узкого пика шириной  $\sim 10 \text{ kHz}$  на частоте  $68.770 \text{ MHz}$ , достигающего уровня  $-36 \text{ dB}$ .

Для проверки разработанной теории в случае возбуждения в системе двух слабосвязанных резонаторов одновременно четырех мод воспользуемся экспериментальными данными из работы [6], где рассмотрен TCRF-фильтр с четырьмя изменениями полярности подключения пар электродов к контактным шинам ВШП. Основные параметры топологии фильтра следующие: общее число электродов в преобразователях  $IDT-1$  ( $IDT-2$ )  $N_T = 999$ , число полосков в отражающих структурах  $RA1$ ( $RA2$ )  $N_R = 250$ ,  $W = 8\lambda_0$ ,  $G = 2\lambda_0$ , толщина пленки  $A1$   $0.017\lambda_0$ ,  $d_1 = 0.875\lambda_0$ , материал пьезоподложки  $ST, X$  кварц. Изменение полярности подключения пар электродов к контактным шинам



**Рис. 6.** Результаты измерения коэффициента передачи четырехмодового TCRF-фильтра в несогласованном (a) и согласованном режимах (b) из работы [6].



**Рис. 7.** Результаты расчета изложенным в данной работе методом коэффициента передачи четырехмодового TCRF-фильтра в несогласованном (а) и согласованном режимах (б) с данными топологии из работы [6].

имеет место при  $N_1 = 91$ ,  $N_2 = 139$ ,  $N_3 = 326$ ,  $N_4 = 674$ ,  $N_5 = 861$ ,  $N_6 = 909$ . Причем от 1-го электрода до электрода с номером  $N_1$ , от электрода с номером  $N_2$  до электрода с номером  $N_3$ , от электрода с номером  $N_4$  до электрода с номером  $N_5$ , от электрода с номером  $N_6$  до электрода с номером  $N_7$  использованы холостые электроды. Характер изменения полярности подключения пар электродов показан на рис. 5. Здесь, если в центральной части ВШП полярность подключения принять за положительную, т.е.  $+1$ , то от электрода с номером  $N_1$  до электрода с номером  $N_2$  и от электрода с номером  $N_5$  до электрода с номером  $N_6$  полярность подключения обратная, т.е.  $-1$ .

Результаты измерения коэффициента передачи фильтра, включенного в тракт с волновым сопротивлением  $50 \Omega$  без использования элементов согласования, представлены на рис. 6, а (из работы [6]), а на рис. 7, а приведены результаты расчета на основе предложенной теории (результаты расчета в работе [6] не приведены). Результаты измерения коэффициента передачи фильтра, включенного в тракт с волновым сопротивлением  $50 \Omega$  в согласованном режиме, представлены на рис. 6, б (из работы [6]), а на рис. 7, б приведены результаты расчета на основе предложенной теории. Сопоставление теории и эксперимента показывает хорошее совпадение предложенной теории и экспериментальных данных из работы [6]. Несколько меньшие расчетные вносимые потери по сравнению с измеренными, по-видимому, связаны с пренебрежением при расчете резистивными потерями в электродах ВШП и отражающих структур.

## Список литературы

- [1] Birykov S.V., Martin G., Polevoi V.G. et al. // IEEE Trans. on UFFC-42. 1995. Vol. UFFC-42. N 4. P. 612–618.
- [2] Дмитриев В.Ф. // ЖТФ. 2002. Т. 72. Вып. 7. С. 95–102.
- [3] Дмитриев В.Ф. // ЖТФ. 2002. Т. 72. Вып. 9. С. 93–101.
- [4] Дмитриев В.Ф. // ЖТФ. 2002. Т. 72. Вып. 11. С. 83–89.
- [5] Martin G. // Proc. 1999. IEEE Ultrasonics Symposium. P. 15–24.
- [6] Martin G., Waill B. // Proc. 1997. IEEE Ultrasonics Symposium. P. 37–40.
- [7] Dmitriev V.F., Osipova N.P. // Proc. Intern. Forum on Wave Electronics and Its Application. St.Petersburg, 2000. P. 360–364.